

Transiciones de fase cuánticas de estados excitados en el límite bidimensional del modelo de vibrones

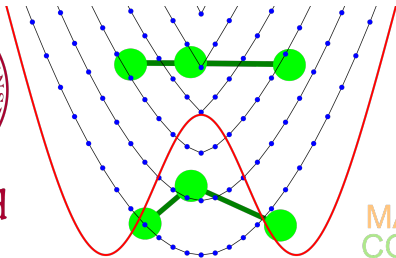
Jamil Khalouf-Rivera, Miguel Carvajal, Francisco Pérez-Bernal

Universidad de Huelva

January 25, 2022



Universidad
de Huelva



FÍSICA
MATEMÁTICAS
COMPUTACIÓN

Table of Contents

- 1 Límite bidimensional del modelo de vibrones
- 2 El modelo Hamiltoniano y la transición a la linealidad
 - Transición a la linealidad: Si_2C
- 3 Término anarmónico e isomerización
 - Isomerización: HCN-HNC
- 4 Doble pozo y QPT de primer orden
- 5 Desarrollos futuros

- 2D limit of the Vibron Model (2DVM)^{abcd}
- Aplicación a moléculas^{efg}

^aF. Iachello. *Chem. Phys. Lett.*, 78:581, 1981

^bF. Iachello and S. Oss. *J. Chem. Phys.*, 104:6956–6963, 1996

^cF. Pérez-Bernal and F. Iachello. *Phys. Rev. A*, 77:032–115, 2008

^dF. Pérez-Bernal, L. F. Santos, P.H. Vaccaro, and F. Iachello. *Chem. Phys. Lett.*, 414:398 – 404, 2005

^eF. Iachello, F. Pérez-Bernal, and P.H. Vaccaro. *Chem. Phys. Lett.*, 375:309 – 320, 2003

^fD. Larese and F. Iachello. *J. Mol. Struct.*, 1006:611 – 628, 2011

^gD. Larese, F. Pérez-Bernal, and F. Iachello. *J. Mol. Struct.*, 1051:310 – 327, 2013

Boson Operators

$$\tau_x, \tau_x^\dagger, \tau_y, \tau_y^\dagger, \sigma, \sigma^\dagger$$

Circular Boson Operators

$$\tau_\pm^\dagger = \frac{\mp 1}{\sqrt{2}} (\tau_x^\dagger \pm i\tau_y^\dagger)$$

$$\tau_\pm = \frac{\mp 1}{\sqrt{2}} (\tau_x \mp i\tau_y)$$

Boson Operators

$$\tau_x, \tau_x^\dagger, \tau_y, \tau_y^\dagger, \sigma, \sigma^\dagger$$

Circular Boson Operators

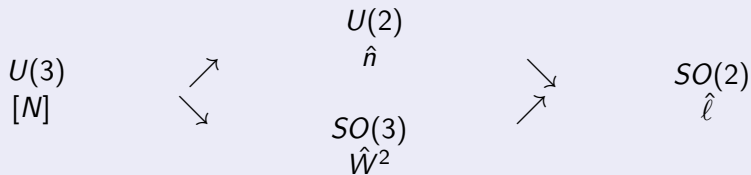
$$\begin{aligned}\tau_\pm^\dagger &= \frac{\mp 1}{\sqrt{2}} (\tau_x^\dagger \pm i\tau_y^\dagger) \\ \tau_\pm &= \frac{\mp 1}{\sqrt{2}} (\tau_x \mp i\tau_y)\end{aligned}$$

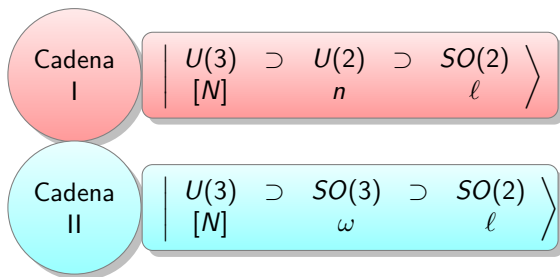
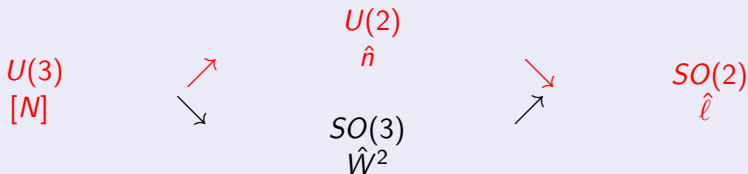
U(3) Algebra Generators

$$\begin{aligned}U(3) &= \langle \tau_i^\dagger \tau_j, \tau_i^\dagger \sigma, \sigma^\dagger \tau_i, \sigma^\dagger \sigma; i, j = x, y \rangle \\ &= \langle \hat{n}, \hat{n}_s, \hat{\ell}, \hat{Q}_\pm, \hat{R}_\pm, \hat{D}_\pm \rangle\end{aligned}$$

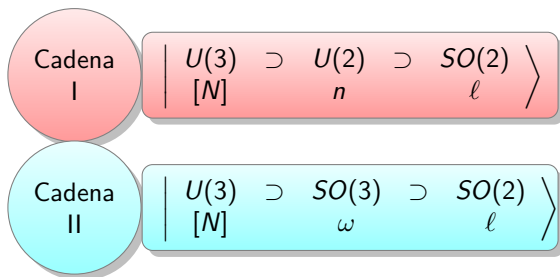
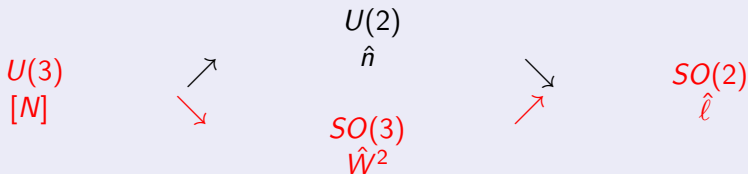
$$\begin{aligned}\hat{n} &= \tau_+^\dagger \tau_+ + \tau_-^\dagger \tau_- \\ \hat{\ell} &= \tau_+^\dagger \tau_+ - \tau_-^\dagger \tau_-\end{aligned}$$

$$\begin{aligned}\hat{W}^2 &= \frac{1}{2} (\hat{D}_+ \hat{D}_- + \hat{D}_- \hat{D}_+) + \hat{\ell}^2 \\ \hat{D}_\pm &= \sqrt{2} (\pm \tau_\pm^\dagger \sigma \mp \sigma^\dagger \tau_\mp)\end{aligned}$$





$$\nu_b = \frac{N - \omega}{2}$$



$$\nu_b = \frac{N - \omega}{2}$$

$$\hat{\mathcal{H}}(\xi) = (1 - \xi) \hat{n} - \frac{\xi}{N-1} \hat{W}^2$$

- GSQPT de segundo orden
- ESQPT, transición a la linealidad
- Monodromía cuántica

$$\hat{\mathcal{H}}(\xi) = (1 - \xi) \hat{n} - \frac{\xi}{N-1} \hat{W}^2$$

- ESQPT no asociada a una GSQPT
- Isomerización

- GSQPT de segundo orden
- ESQPT, transición a la linealidad
- Monodromía cuántica

$$\hat{\mathcal{H}}(\xi, \alpha) = (1 - \xi) \hat{n} + \frac{\alpha}{N-1} \hat{n}(\hat{n} + 1) - \frac{\xi}{N-1} \hat{W}^2$$

$$\hat{\mathcal{H}}(\xi) = (1 - \xi) \hat{n} - \frac{\xi}{N-1} \hat{W}^2$$

- ESQPT no asociada a una GSQPT
- Isomerización

$$\hat{\mathcal{H}}(\eta) = (1 - \eta) \hat{n} + \eta \left[\frac{\hat{n}^2 + \hat{W}^2}{N-1} - 2 \frac{\hat{n} \hat{W}^2 + \hat{W}^2 \hat{n}}{(N-1)(N-2)} \right]$$

- GSQPT de segundo orden
- ESQPT, transición a la linealidad
- Monodromía cuántica

$$\hat{\mathcal{H}}(\xi, \alpha) = (1 - \xi) \hat{n} + \frac{\alpha}{N-1} \hat{n}(\hat{n} + 1) - \frac{\xi}{N-1} \hat{W}^2$$

- GSQPT primer orden
- Doble pozo

$$\hat{\mathcal{H}}(\xi) = (1 - \xi) \hat{n} - \frac{\xi}{N-1} \hat{W}^2$$

- ESQPT no asociada a una GSQPT
- Isomerización

$$\hat{\mathcal{H}}(\eta) = (1 - \eta) \hat{n} + \eta \left[\frac{\hat{n}^2 + \hat{W}^2}{N-1} - 2 \frac{\hat{n} \hat{W}^2 + \hat{W}^2 \hat{n}}{(N-1)(N-2)} \right]$$

- Descripción de niveles vibracionales
- Predicción de niveles

- GSQPT de segundo orden
- ESQPT, transición a la linealidad
- Monodromía cuántica

$$\hat{\mathcal{H}}(\xi, \alpha) = (1 - \xi) \hat{n} + \frac{\alpha}{N-1} \hat{n}(\hat{n} + 1) - \frac{\xi}{N-1} \hat{W}^2$$

- GSQPT primer orden
- Doble pozo

$$\hat{H}_{4b} = P_{11} \hat{n} + P_{21} \hat{n}^2 + P_{22} \hat{\ell}^2 + P_{23} \hat{W}^2 + P_{31} \hat{n}^3 + P_{32} \hat{n} \hat{\ell}^2 + P_{33} (\hat{n} \hat{W}^2 + \hat{W}^2 \hat{n}) + P_{41} \hat{n}^4 + P_{42} \hat{n}^2 \hat{\ell}^2 + P_{43} \hat{\ell}^4 + P_{44} \hat{\ell}^2 \hat{W}^2 + P_{45} (\hat{n}^2 \hat{W}^2 + \hat{W}^2 \hat{n}^2) + P_{46} \hat{W}^4$$

Modelo Hamiltoniano

$$\hat{\mathcal{H}}(\xi) = (1 - \xi) \hat{n} - \frac{\xi}{N-1} \hat{W}^2$$

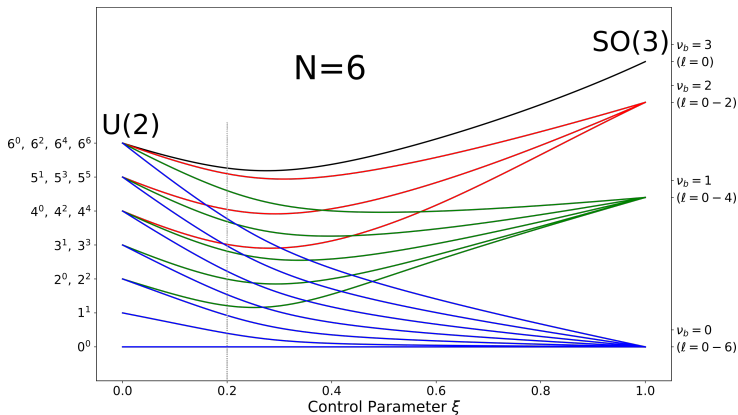
- $\xi_c = 0.2$
- $E^{\text{ESQPT}}(\xi) = \frac{(5\xi-1)^2}{16\xi}, \xi > \xi_c$

Modelo Hamiltoniano

$$\hat{\mathcal{H}}(\xi) = (1 - \xi) \hat{n} - \frac{\xi}{N-1} \hat{W}^2$$

- $\xi_c = 0.2$

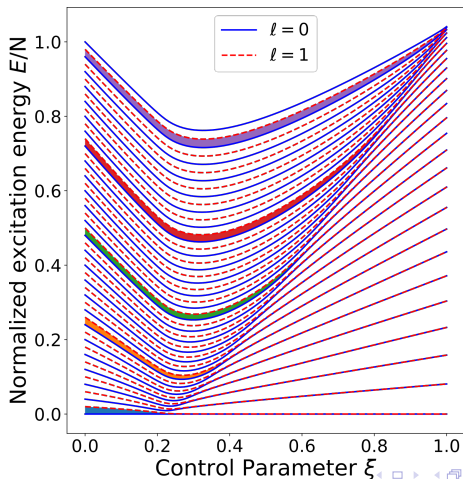
- $E^{\text{ESQPT}}(\xi) = \frac{(5\xi-1)^2}{16\xi}, \xi > \xi_c$



Modelo Hamiltoniano

$$\hat{\mathcal{H}}(\xi) = (1 - \xi) \hat{n} - \frac{\xi}{N-1} \hat{W}^2$$

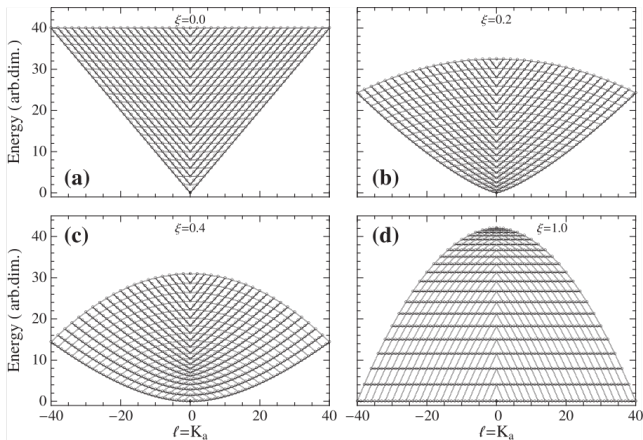
- $\xi_c = 0.2$
- $E^{\text{ESQPT}}(\xi) = \frac{(5\xi-1)^2}{16\xi}, \xi > \xi_c$



Modelo Hamiltoniano

$$\hat{\mathcal{H}}(\xi) = (1 - \xi) \hat{n} - \frac{\xi}{N-1} \hat{W}^2$$

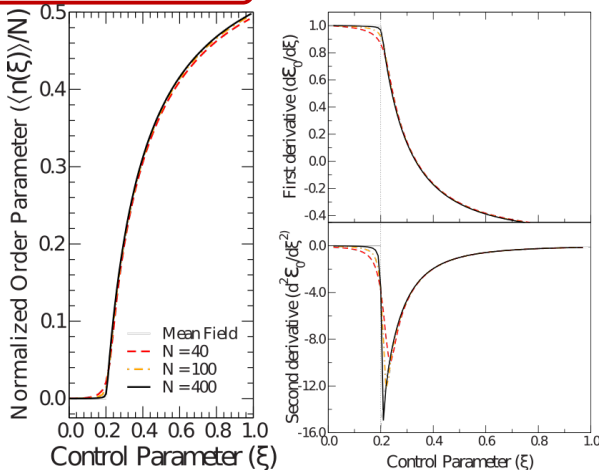
- $\xi_c = 0.2$
- $E^{\text{ESQPT}}(\xi) = \frac{(5\xi-1)^2}{16\xi}$, $\xi > \xi_c$



Modelo Hamiltoniano

$$\hat{\mathcal{H}}(\xi) = (1 - \xi) \hat{n} - \frac{\xi}{N-1} \hat{W}^2$$

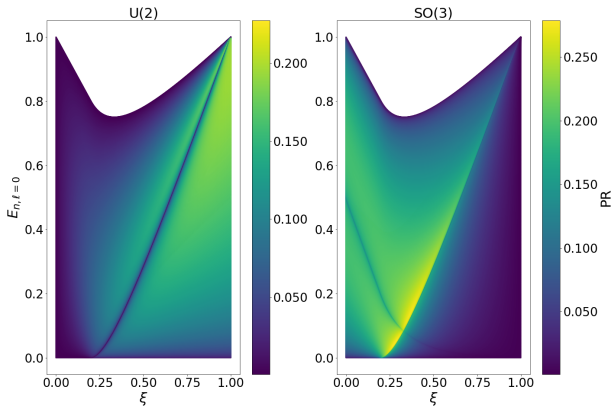
- $\xi_c = 0.2$
- $E^{\text{ESQPT}}(\xi) = \frac{(5\xi-1)^2}{16\xi}, \xi > \xi_c$



Modelo Hamiltoniano

$$\hat{\mathcal{H}}(\xi) = (1 - \xi) \hat{n} - \frac{\xi}{N-1} \hat{W}^2$$

$$PR(\psi) = \frac{1}{\sum_{j,\ell} |c_{j,\ell}|^4}$$

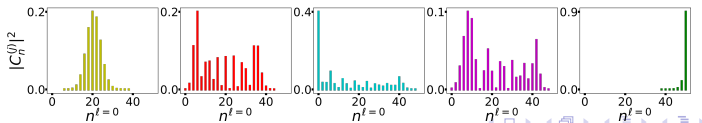
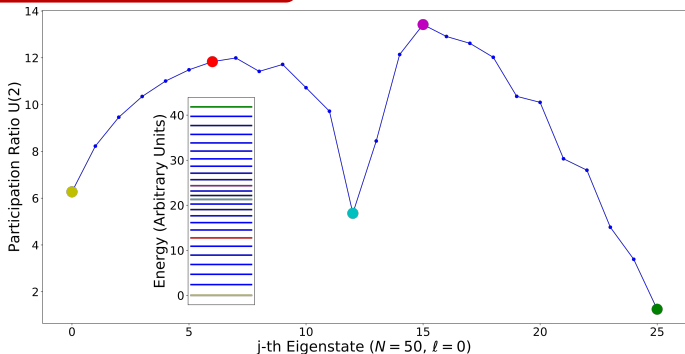


JKR, Francisco Pérez-Bernal, and Miguel Carvajal. *J. Quant. Spectrosc. and Rad. Transfer*, 216:107436, 2020

Modelo Hamiltoniano

$$\hat{\mathcal{H}}(\xi) = (1 - \xi) \hat{n} - \frac{\xi}{N-1} \hat{W}^2$$

$$PR(\psi) = \frac{1}{\sum_{j,\ell} |c_{j,\ell}|^4}$$



$$\hat{H}_{\text{Si}_2\text{C}} = P_{11}\hat{n} + P_{21}\hat{n}^2 + P_{22}\hat{\ell}^2 + P_{23}\hat{W}^2$$

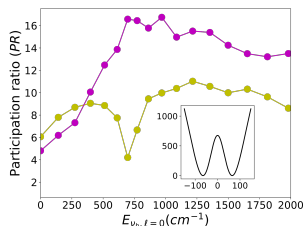
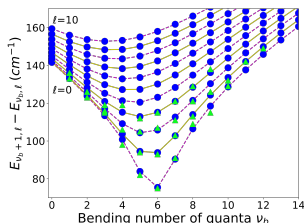
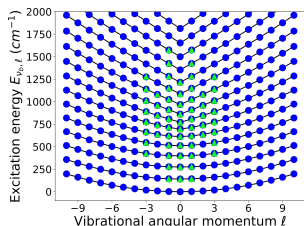
P_{11}	P_{21}	P_{22}	P_{23}	N	rms	σ_{exp}	N_{data}
63.8(5)	-0.108(18)	0.98(5)	-0.8117(17)	49	1.48	2	37

P_{ij} , rms and σ in cm^{-1} units.

$$\hat{H}_{\text{Si}_2\text{C}} = P_{11}\hat{n} + P_{21}\hat{n}^2 + P_{22}\hat{\ell}^2 + P_{23}\hat{W}^2$$

P_{11}	P_{21}	P_{22}	P_{23}	N	rms	σ_{exp}	N_{data}
63.8(5)	-0.108(18)	0.98(5)	-0.8117(17)	49	1.48	2	37

P_{ij} , rms and σ in cm^{-1} units.



JKR, Francisco Pérez-Bernal, and Miguel Carvajal. *J. Quant. Spectrosc. and Rad. Transfer*, 216:107436, 2020

Término anarmónico (arXiv:2106.11044, 2021)

$$\hat{\mathcal{H}}(\xi, \alpha) = (1 - \xi) \hat{n} + \frac{\alpha}{N-1} \hat{n}(\hat{n} + 1) - \frac{\xi}{N-1} \hat{W}^2$$

- $E_1(\xi, \alpha) = \frac{(5\xi-1)^2}{4(4\xi+\alpha)}, \xi > \xi_c$
- $E_2(\xi, \alpha) = \begin{cases} 1 + \alpha - \xi, & \xi \leq \xi_c \\ \frac{(1+2\alpha+3\xi)^2}{4(4\xi+\alpha)}, & \xi > \xi_c \end{cases}$

Fase no simétrica $\xi > \xi_c$

F. Pérez-Bernal and O. Álvarez-Bajo. *Phys. Rev. A*, 81:050–101, 2010

Fase simétrica $\xi < \xi_c$

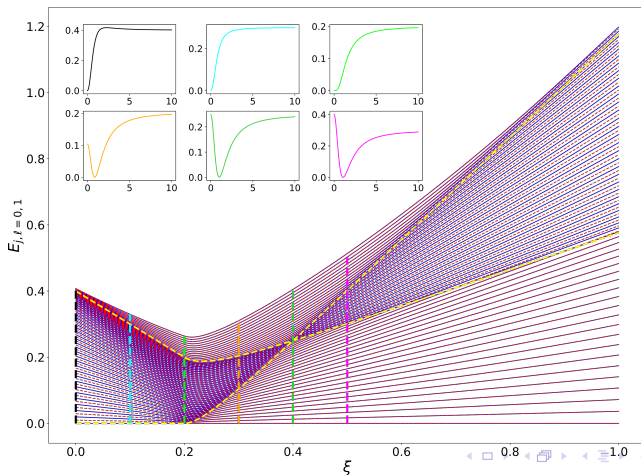
JKR, Francisco Pérez-Bernal, and Miguel Carvajal. *arXiv:2106.11044*, 2021

Término anarmónico (arXiv:2106.11044, 2021)

$$\hat{\mathcal{H}}(\xi, \alpha) = (1 - \xi) \hat{n} + \frac{\alpha}{N-1} \hat{n}(\hat{n} + 1) - \frac{\xi}{N-1} \hat{W}^2$$

$$\bullet E_1(\xi, \alpha) = \frac{(5\xi-1)^2}{4(4\xi+\alpha)}, \quad \xi > \xi_c$$

$$\bullet E_2(\xi, \alpha) = \begin{cases} 1 + \alpha - \xi, & \xi \leq \xi_c \\ \frac{(1+2\alpha+3\xi)^2}{4(4\xi+\alpha)}, & \xi > \xi_c \end{cases}$$



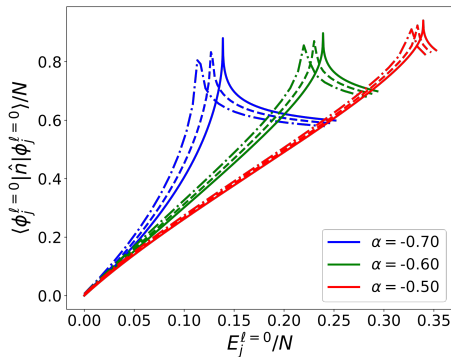
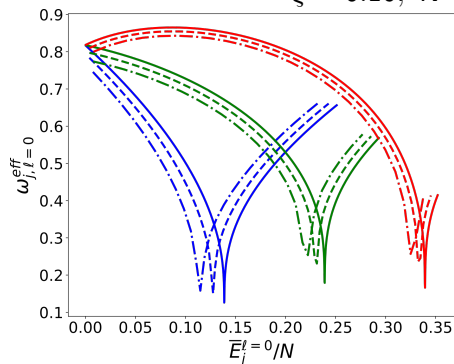
Término anarmónico (arXiv:2106.11044, 2021)

$$\hat{\mathcal{H}}(\xi, \alpha) = (1 - \xi) \hat{n} + \frac{\alpha}{N-1} \hat{n}(\hat{n} + 1) - \frac{\xi}{N-1} \hat{W}^2$$

$$\bullet E_1(\xi, \alpha) = \frac{(5\xi-1)^2}{4(4\xi+\alpha)}, \quad \xi > \xi_c$$

$$\bullet E_2(\xi, \alpha) = \begin{cases} 1 + \alpha - \xi, & \xi \leq \xi_c \\ \frac{(1+2\alpha+3\xi)^2}{4(4\xi+\alpha)}, & \xi > \xi_c \end{cases}$$

$\xi = 0.16, N = 50, 100, 1000$



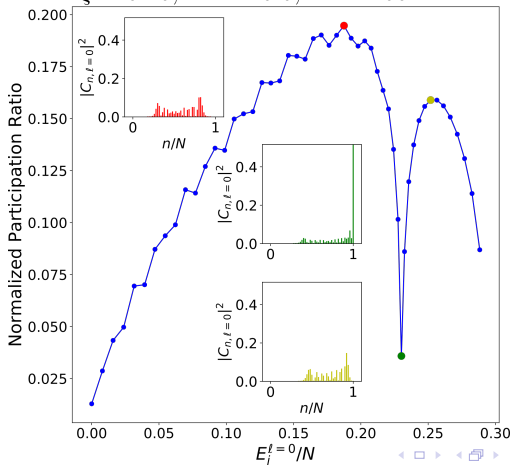
Término anarmónico (arXiv:2106.11044, 2021)

$$\hat{\mathcal{H}}(\xi, \alpha) = (1 - \xi) \hat{n} + \frac{\alpha}{N-1} \hat{n}(\hat{n} + 1) - \frac{\xi}{N-1} \hat{W}^2$$

$$\bullet E_1(\xi, \alpha) = \frac{(5\xi-1)^2}{4(4\xi+\alpha)}, \quad \xi > \xi_c$$

$$\bullet E_2(\xi, \alpha) = \begin{cases} 1 + \alpha - \xi, & \xi \leq \xi_c \\ \frac{(1+2\alpha+3\xi)^2}{4(4\xi+\alpha)}, & \xi > \xi_c \end{cases}$$

$\xi = 0.16, \alpha = -0.6, N = 100$



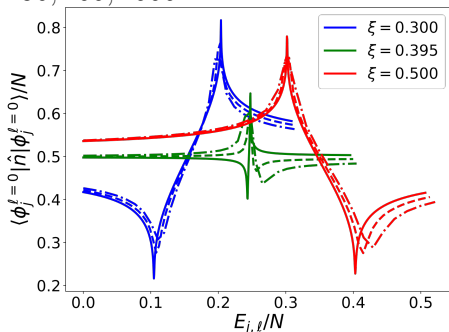
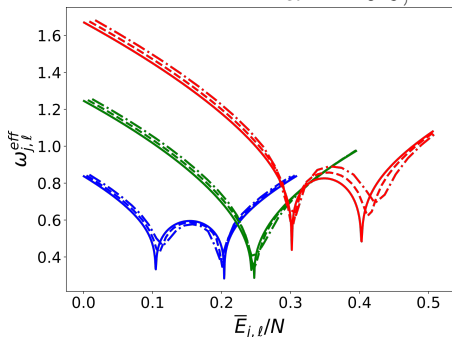
Término anarmónico (arXiv:2106.11044, 2021)

$$(1 - \xi) \hat{n} + \frac{\alpha}{N-1} \hat{n}(\hat{n} + 1) - \frac{\xi}{N-1} \hat{W}^2$$

$$\bullet E_1(\xi, \alpha) = \frac{(5\xi-1)^2}{4(4\xi+\alpha)}, \quad \xi > \xi_c$$

$$\bullet E_2(\xi, \alpha) = \begin{cases} 1 + \alpha - \xi, & \xi \leq \xi_c \\ \frac{(1+2\alpha+3\xi)^2}{4(4\xi+\alpha)}, & \xi > \xi_c \end{cases}$$

$\alpha = -0.6, N = 50, 100, 1000$



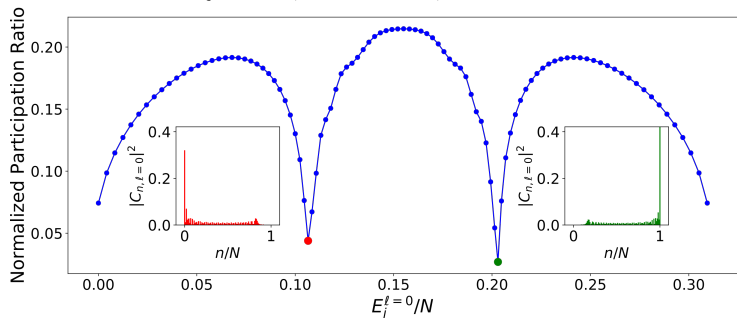
Término anarmónico (arXiv:2106.11044, 2021)

$$\hat{\mathcal{H}}(\xi, \alpha) = (1 - \xi) \hat{n} + \frac{\alpha}{N-1} \hat{n}(\hat{n} + 1) - \frac{\xi}{N-1} \hat{W}^2$$

$$\bullet E_1(\xi, \alpha) = \frac{(5\xi-1)^2}{4(4\xi+\alpha)}, \quad \xi > \xi_c$$

$$\bullet E_2(\xi, \alpha) = \begin{cases} 1 + \alpha - \xi, & \xi \leq \xi_c \\ \frac{(1+2\alpha+3\xi)^2}{4(4\xi+\alpha)}, & \xi > \xi_c \end{cases}$$

$$\xi = 0.3, \quad \alpha = -0.6, \quad N = 200$$



Isomerización: HCN-HNC

$$\hat{H} = P_{11}\hat{n} + P_{21}\hat{n}^2 + P_{22}\hat{\ell}^2 + P_{23}\hat{W}^2 + P_{45} \left[\hat{W}^2\hat{n}^2 + \hat{n}^2\hat{W}^2 \right]$$

P_{11}	P_{21}	P_{22}	P_{23}	P_{45}	N	rms
2308.3(6)	-39.947(14)	21.810(6)	-10.635(3)	$-1.311(3) \times 10^{-4}$	50	19.37
1024.9(1.4)	-18.59(4)	13.362(23)	-5.085(11)	-	40	14.91

P_{ij} and rms in cm^{-1} units.

JKR, M. Carvajal, L. F. Santos, and F. Pérez-Bernal. *J. Phys. Chem. A*, 123:9544–9551, 2019

Isomerización: HCN-HNC

$$\hat{H} = P_{11}\hat{n} + P_{21}\hat{n}^2 + P_{22}\hat{\ell}^2 + P_{23}\hat{W}^2 + P_{45} \left[\hat{W}^2\hat{n}^2 + \hat{n}^2\hat{W}^2 \right]$$

P_{11}	P_{21}	P_{22}	P_{23}	P_{45}	N	rms
2308.3(6)	-39.947(14)	21.810(6)	-10.635(3)	$-1.311(3) \times 10^{-4}$	50	19.37
1024.9(1.4)	-18.59(4)	13.362(23)	-5.085(11)	-	40	14.91

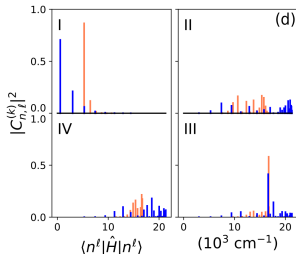
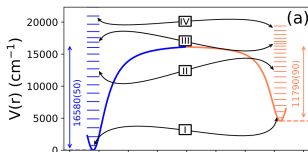
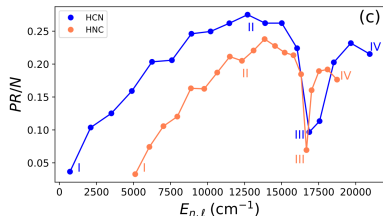
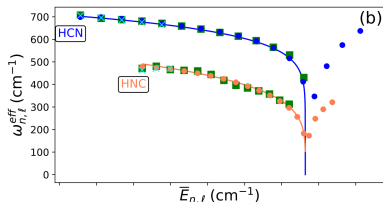
P_{ij} and rms in cm^{-1} units.

JKR, M. Carvajal, L. F. Santos, and F. Pérez-Bernal. *J. Phys. Chem. A*, 123:9544–9551, 2019

$$\omega_{\text{eff}}(\bar{E}) = \omega_0 \left(1 - \frac{\bar{E}}{E_{TS}} \right)^{1/m}$$

J.H. Baraban, P.B. Changala, G.Ch. Mellau, et al. *Science*, 350:1338–1342, 2015

Isomerización: HCN-HNC

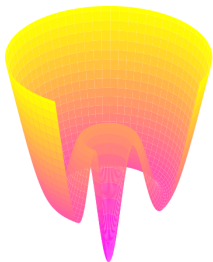
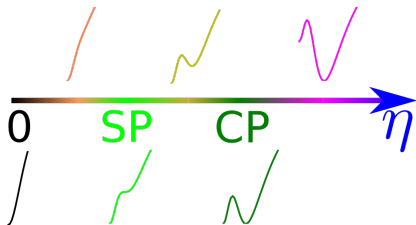


Energía de transición E_{TS} (cm^{-1})

Molécula	2DVM-I	2DVM-II	Baraban <i>et al.</i>	Mourik <i>et al.</i>	Makhnev <i>et al.</i>
HCN($\ell = 0$)	16580(50)	16599(15)	16695(17)	16798	16809.4
HNC($\ell = 0$)	11790(90)	11977(15)	11533(124)	11517	11496.6

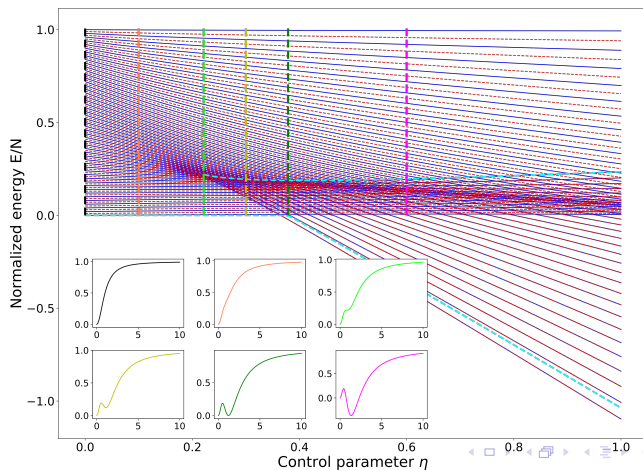
Doble pozo

$$\hat{\mathcal{H}} = (1 - \eta)\hat{n} + \eta \left[\frac{\hat{n}^2 + \hat{W}^2}{N-1} - 2 \frac{\hat{n}\hat{W}^2 + \hat{W}^2\hat{n}}{(N-1)(N-2)} \right]$$



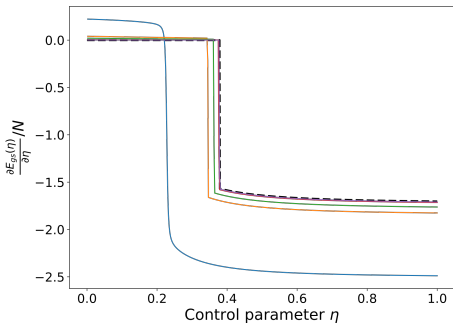
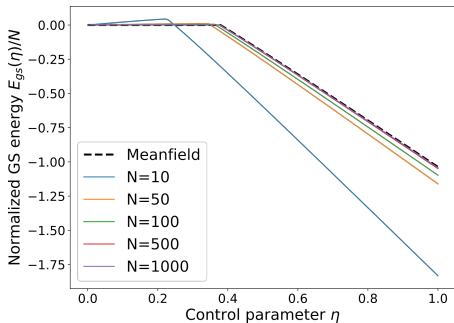
- $\eta \in [0, 48/217)$: pozo central.
- $\eta = 48/217$: punto de inflexión.
- $\eta \in (48/217, 64/169)$: doble pozo y estado fundamental en el origen.
- $\eta = 64/169$: ambos mínimos toman el mismo valor de energía.
- $\eta \in (64/169, 1]$: doble pozo y estado fundamental fuera del origen.

$$\hat{\mathcal{H}} = (1 - \eta)\hat{n} + \eta \left[\frac{\hat{n}^2 + \hat{W}^2}{N-1} - 2 \frac{\hat{n}\hat{W}^2 + \hat{W}^2\hat{n}}{(N-1)(N-2)} \right]$$

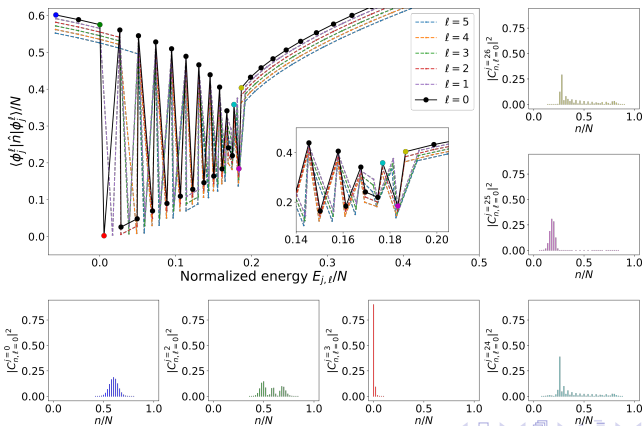


Doble pozo

$$\hat{\mathcal{H}} = (1 - \eta)\hat{n} + \eta \left[\frac{\hat{n}^2 + \hat{W}^2}{N-1} - 2 \frac{\hat{n}\hat{W}^2 + \hat{W}^2\hat{n}}{(N-1)(N-2)} \right]$$



$$\hat{\mathcal{H}} = (1 - \eta)\hat{n} + \eta \left[\frac{\hat{n}^2 + \hat{W}^2}{N-1} - 2 \frac{\hat{n}\hat{W}^2 + \hat{W}^2\hat{n}}{(N-1)(N-2)} \right]$$



- Estudiar la fenomenología de \hat{H}_{4b}
- Caracterizar el espacio de las fases

- Estudiar la fenomenología de \hat{H}_{4b}
- Caracterizar el espacio de las fases

- Estudiar el sistema [H,C,N] con $U(3) \otimes U(3)$
- Extender el estudio al C_2H_2 cis-trans
- Mezcla de configuraciones

- Estudiar la fenomenología de \hat{H}_{4b}
- Caracterizar el espacio de las fases

- Estudiar el sistema [H,C,N] con $U(3) \otimes U(3)$
- Extender el estudio al C_2H_2 cis-trans
- Mezcla de configuraciones

- Encontrar sistema físico que presente un doble pozo con simetría rotacional

- Estudiar la fenomenología de \hat{H}_{4b}
- Caracterizar el espacio de las fases

- Estudiar el sistema [H,C,N] con $U(3) \otimes U(3)$
- Extender el estudio al C_2H_2 cis-trans
- Mezcla de configuraciones

- Encontrar sistema físico que presente un doble pozo con simetría rotacional

- Dinámica en el 2DVM
- OTOCs

¡Gracias por su atención!



- [1] J.H. Baraban, P.B. Changala, G.Ch. Mellau, et al. *Science*, 350:1338–1342, 2015.
- [2] F. Iachello. *Chem. Phys. Lett.*, 78:581, 1981.
- [3] F. Iachello and S. Oss. *J. Chem. Phys.*, 104:6956–6963, 1996.
- [4] F. Iachello, F. Pérez-Bernal, and P.H. Vaccaro. *Chem. Phys. Lett.*, 375:309 – 320, 2003.
- [5] JKR, M. Carvajal, L. F. Santos, and F. Pérez-Bernal. *J. Phys. Chem. A*, 123:9544–9551, 2019.
- [6] JKR, Francisco Pérez-Bernal, and Miguel Carvajal. *J. Quant. Spectrosc. and Rad. Transfer*, 216:107436, 2020.
- [7] JKR, Francisco Pérez-Bernal, and Miguel Carvajal. *arXiv:2106.11044*, 2021.
- [8] D. Larese and F. Iachello. *J. Mol. Struct.*, 1006:611 – 628, 2011.
- [9] D. Larese, F. Pérez-Bernal, and F. Iachello. *J. Mol. Struct.*, 1051:310 – 327, 2013.
- [10] F. Pérez-Bernal and O. Álvarez-Bajo. *Phys. Rev. A*, 81:050–101, 2010.

- [11] F. Pérez-Bernal and F. Iachello. *Phys. Rev. A*, 77:032–115, 2008.
- [12] F. Pérez-Bernal, L. F. Santos, P.H. Vaccaro, and F. Iachello. *Chem. Phys. Lett.*, 414:398 – 404, 2005.